

快速检索：
关键词、知识点、
方法、题型、难度

物理
力学
电磁学
热学
光学
实验

題典

高中物理竞赛

编著 张大同
范小辉
张伟平



YZL10890146074

华东师范大学出版社

多功
能



YZLI0890146074

华东师范大学出版社

高中物理竞赛

张大同 范小辉 张伟平 编著

图书在版编目(CIP)数据

多功能题典·高中物理竞赛/张大同,范小辉,张伟平编著. —上海:华东师范大学出版社,2010.5

(多功能题典)

ISBN 978 - 7 - 5617 - 7709 - 1

I. ①多… II. ①张… ②范… ③张… III. ①物理课—高中—习题 IV. ①G634. 75

中国版本图书馆 CIP 数据核字(2010)第 078748 号

多功能题典·高中物理竞赛

编 著 张大同 范小辉 张伟平

项目编辑 孔令志

策划组稿 应向阳

审读编辑 张红英 赵 飞

装帧设计 黄惠敏

出版发行 华东师范大学出版社

社 址 上海市中山北路 3663 号 邮编 200062

网 址 www.ecnupress.com.cn

电 话 021 - 60821666 行政传真 021 - 62572105

客服电话 021 - 62865537 门市(邮购) 电话 021 - 62869887

地 址 上海市中山北路 3663 号华东师范大学校内先锋路口

网 店 <http://ecnup.taobao.com/>

印 刷 者 江苏句容排印厂

开 本 890 × 1240 32 开

插 页 4

印 张 33.25

字 数 1363 千字

版 次 2010 年 11 月第一版

印 次 2010 年 11 月第一次

书 号 ISBN 978 - 7 - 5617 - 7709 - 1 / G · 4460

定 价 58.00 元

出 版 人 朱杰人

(如发现本版图书有印订质量问题,请寄回本社客服中心调换或电话 021 - 62865537 联系)

致 读 者

自 2007 年面市以来,《多功能题典》越来越受到读者的肯定. 题典家族也在不停地增添新丁, 目前, 题典家族已有 14 个成员, 涵盖中小学的主要学科. 为了答谢读者的厚爱, 题典家族开始了自身的新陈代谢——第三版修订, 在保持原来多项功能的前提下, 高中数、理、化三学科增加了 OK 学习网免费视频服务, 同时进一步增强各项功能的高效性, 特别是其强大的网络检索功能, 更能满足 e- 学习的高效率. 当您进入题典的网络检索系统时, 相信您一定会有新的收获.

下面让我们一起来看看题典家族的自我介绍吧.

作者权威 题典家族的编写队伍由各学科考试命题的专家、学者与长期在教学第一线的资深特、高级教师组成. 他们各取所长、各展所能, 把自己长期积累、精心筛选的新颖而规范的经典试题奉献出来, 共同打造出这一套高品质的丛书.

题目典范 题典家族不受教材版本限制, 按各学科知识内容编排, 不仅与教学要求相对应, 更体现了学科知识的完整性、系统性和科学性. 书中每一道试题的编制和确定都经过了多道关卡, 从作者编选、教学使用到主编总纂、编辑审读, 再到专家审定, 每一个环节都精益求精, 从而确保题题经典.

体例新颖 题典家族不仅为每一道题提供了精妙的“题解”, 更积极引导读者“解题”, 注重方法、思路的点拨, 还为每一道题标出了难度星级, 使读者学有所思、学有所得, 不仅能举一反三, 更能了解自己的学习水平, 把握学习方向.

超强检索 题典家族配备了强大的网络检索功能. 当您需要某种检索时, 可以方便地进入网站(<http://tidian.ecnupress.com.cn>), 从难度、题型、知识点、方法技巧等不同维度, 及关键字进行组合检索, 就像使用 Google 和百度一样方便. 不仅如此, 题典家族还为大家提供了精美的甜点, 即每年都会有新的试题加入到家族的电子题库中, 所以说, 题典家族不只是超强, 更是超值.

题典家族立意新颖, 篇幅较大, 难免有疏漏之处, 敬请不吝指正.

华东师范大学出版社

教辅分社

目 录

第一章 静 力 学

§ 1.1	力学中常见的几种力	1
§ 1.2	共点力作用下物体的平衡	9
§ 1.3	有固定转动轴物体的平衡	27
§ 1.4	一般物体的平衡	40
§ 1.5	物体平衡的种类	66
§ 1.6	流体静力学	73

第二章 运 动 学

§ 2.1	质点运动的基本概念	81
§ 2.2	运动的合成与分解	88
§ 2.3	抛体运动	102
§ 2.4	质点的圆周运动	123

第三章 牛顿运动定律

§ 3.1	牛顿运动定律基本规律	136
§ 3.2	力和直线运动	144
§ 3.3	力和曲线运动	159
§ 3.4	非惯性参照系	172
§ 3.5	天体运动	180

第四章 动 量 和 角 动 量

§ 4.1	动量定理	203
§ 4.2	动量守恒定律	217
§ 4.3	质心与质心的运动	237
§ 4.4	角动量守恒定律	248

第五章 能 量

§ 5.1	功和功率	262
-------	------------	-----

2 多功能题典高中物理

§ 5.2 动能定理	268
§ 5.3 机械能和功能关系	274
§ 5.4 碰撞	294
§ 5.5 天体的运动与能量	327

第六章 机械振动和机械波

§ 6.1 简谐运动	343
§ 6.2 振动的能量	364
§ 6.3 机械波	386
§ 6.4 驻波和多普勒效应	396

第七章 热 学

§ 7.1 分子动理论	405
§ 7.2 气体的性质	411
§ 7.3 热力学定律	430
§ 7.4 固体和液体的性质	470
§ 7.5 物态变化	479

第八章 电 场

§ 8.1 库仑定律和电场强度	489
§ 8.2 电势	527
§ 8.3 电容	566

第九章 电 路

§ 9.1 简单电路	602
§ 9.2 复杂电路	655
§ 9.3 非纯电阻稳恒电路	704

第十章 电磁感应

§ 10.1 安培力	753
§ 10.2 洛伦兹力	766
§ 10.3 动生电动势	802
§ 10.4 感生电动势	821

第十一章 光 学

§ 11.1 光的反射	866
-------------------	-----

目 录 3

§ 11.2 光的折射	873
§ 11.3 球面镜	901
§ 11.4 透镜成像	913
§ 11.5 简单光学仪器	947
§ 11.6 光的波动性	956
§ 11.7 光的粒子性	970

第十二章 近代物理

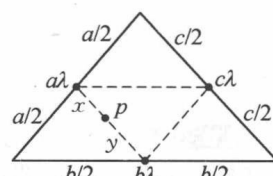
§ 12.1 原子结构	974
§ 12.2 原子核	983
§ 12.3 时间和长度的相对论效应	993
§ 12.4 相对论的动力学效应	1001
功能检索	1014

第一章 静力学

§ 1.1 力学中常见的几种力

1.1.1 ★ 质量线密度相同但长度未必相同的三根细棒,能首尾相接构成一个三角形,试确定此三角形的重心位置.

解析: 如图所示,设棒质量线密度为 λ ,三棒长分别为 a 、 b 、 c ,将三棒质量分别集中于各棒重心,则形成质量为 $a\lambda$ 、 $b\lambda$ 、 $c\lambda$ 的三质点,则三质点的重心即为原三角形的重心,再设 $a\lambda$ 与 $b\lambda$ 的重心位于它们连线上的某点 P 处,则有 $\frac{x}{y} = \frac{b}{a} = \frac{b/2}{a/2}$.



这表明 P 必在三质点构成的三角形顶角的角平分线上, P 与 $c\lambda$ 的重心即为原三角形的重心,它必在此角平分线上;同理,原三角形的重心也必在小三角形的另外两个顶角的角平分线上,从而必在小三角形三条角平分线的交点上,即在小三角形的内心上.

1.1.2 ★ 如图所示,一根细长的硬棒上有 n 个小球,每个小球之间相距 a ,小球质量从 m 、 $2m$ 、 $3m$ 逐渐增大到 nm ,棒重不计,求整个体系的重心位置.

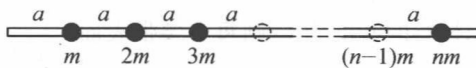


图 1

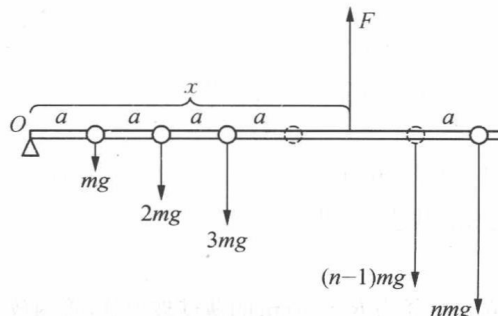


图 2

2 第一章 静力学

解析: 因为棒重不计,那么整个体系的重心就是这些质量不同的小球的重心位置. 设重心距左端 O 点为 x ,如图所示,在重心上加一力 F 使棒平衡,由 $\sum F = 0$ 得

$$\begin{aligned} F &= mg + 2mg + 3mg + \cdots + nmg \\ &= mg(1 + 2 + 3 + \cdots + n) = mg \frac{n(n+1)}{2}. \end{aligned}$$

由 $\sum M = 0$ 得

$$\begin{aligned} F \cdot x &= mg \cdot a + 2mg \cdot 2a + 3mg \cdot 3a + \cdots + nmg \cdot na \\ &= mga(1^2 + 2^2 + 3^2 + \cdots + n^2) = \frac{n(n+1)(2n+1)}{6}mga. \end{aligned}$$

所以

$$x = \frac{(2n+1)}{3}a.$$

1.1.3 ★ 半径为 R 的均匀薄壁球壳分成两部分并牢固连接起来,如图 1 所示. 设高脚杯的脚高为 h ,求所得高脚杯重心的高度.

解析: 本题采用微元法,将高脚杯分成一条条高 $\Delta h \ll R$ 的平小腰带,如图 2 所示. 显然,整个高脚杯的重心实质上是这样小腰带系的重心.

但是每条这样小腰带的重心均位于半径为 r_i 的圆的中心,其中 r_i 是高脚杯的平均半径,它们分布在过球心的直线上. 因而我们需要求质点系重心的位置. 每个这样的点的质量就是相应腰带的质量.

设球壳单位面积材料的密度为 ρ ,则每个腰带表面的面积等于

$$S_i = 2\pi r_i l = 2\pi R \sin \alpha \cdot \frac{\Delta h}{\sin \alpha} = 2\pi R \Delta h,$$

而质量

$$m_i = \rho S_i \Delta h = \rho 2\pi R \Delta h.$$

可见所有腰带的质量仅取决于它们的高度(当 ρ 和 R 一定时).

因此,高脚杯的重心是相同质量的质点系的重心,各质点均匀分布在长为 $2R$ ($\sum h_i = 2R$) 的竖直线段上. 因而,高脚杯的重心位于它高度的中点,即位于离高脚杯“底” R 高处.

1.1.4 ★ 桌上立一半径为 $R = 3$ cm 的薄壁玻璃管,管内放一长为 30 cm、宽为 10 cm 的扁平薄塑料袋,将袋中满满地灌上水,如果将玻璃管缓慢地上提,管内装水

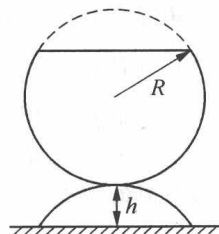


图 1

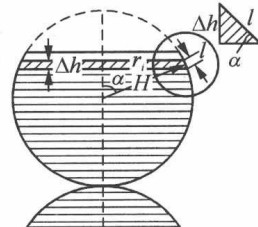


图 2

的塑料袋能随管一起上升吗？已知塑料袋和玻璃的动摩擦因数为 $\mu = 0.3$ 。

解析：塑料袋能否随管上升，关键是比较其所受的摩擦力与重力的大小关系。因液体内部压强 $p = \rho gh$ ，正压力自上而下均匀地增加，故可以用平均压力来表示塑料袋所受的正压力，即 $\bar{N} = \frac{1}{2} \rho gh \cdot 2\pi Rh$ ，

这样，摩擦力

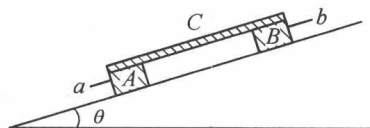
$$f = \pi \mu g \rho R h^2.$$

而重力 $G = \pi R^2 h \rho g$ ，则 $f/G = \mu h/R = 3 > 1$ 。

因此，管内装水的塑料袋能随管一起上升。

1.1.5 ★★ 在图中，A、B 是两个带柄(a 和 b)的完全相同的长方形物体，C 是另一长方体，C 的质量为 m ，A、B 与斜面间以及与 C 之间皆有摩擦，C 与 A 或 B 间的静摩擦因数均为 μ 。设它们原来都处于静止状态。

(1) 若一手握住 a，使 A 不动，另一手握住 b，逐渐用力将 B 沿倾角为 θ 的斜面向上拉。当力增大到能使 B 刚刚开始向上移动时，C 动不动？若动，如何动？



(2) 此时 A 与 C 之间的摩擦力为多大？

(3) 若握住 b 使 B 不动，握住 a 逐渐用力将 A 沿倾角为 θ 的斜面向下拉，当 A 开始移动时，C 动不动？若动，如何动？

解析：(1) C 原来不动，说明 $mg \sin \theta$ 小于 A、B 对 C 的最大静摩擦力 $\mu mg \cos \theta$ 。当 B 刚能向上移动时，不等式 $mg \sin \theta < \mu mg \cos \theta$ 仍成立，所以 C 不可能向下移动。另外，C 也不可能向上移动，因为要向上移动，则 B 对 C 的摩擦力（其可能的最大值为 $\frac{1}{2} \mu mg \cos \theta$ ）必须大于或等于 C 所受重力沿斜面方向的分力与 A 对 C 的最大静摩擦力之和，即

$$\frac{1}{2} \mu mg \cos \theta \geq mg \sin \theta + \frac{1}{2} \mu mg \cos \theta,$$

这是不可能的。所以结论是 C 不动。

(2) 因为 B 刚开始向上移动而 C 不动，所以 A 对 C 的摩擦力的大小是

$$F_f = \left| \frac{1}{2} \mu mg \cos \theta - mg \sin \theta \right|,$$

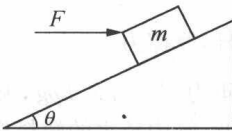
方向是沿斜面向上还是向下视两者大小而定，若 $\frac{1}{2} \mu mg \cos \theta > mg \sin \theta$ ，摩擦力方向是向下的；反之，则向上。

(3) C 不能向上移动。另外，当 A 刚开始向下移动时，C 不可能不动，因为这时 C 受到 B 对它的向上的摩擦力（其可能的最大值为 $\frac{1}{2} \mu mg \cos \theta$ ），不可能抵消重

力沿斜面方向的分力与 A 对 C 的摩擦力的合力（即 $mg \sin \theta + \frac{1}{2} \mu mg \cos \theta$ ）。由以上分析可得出结论：C 必向下移动。

1.1.6 ★★ 如图所示，放在斜面上的物体与斜面间的摩擦系数为 μ ($\mu < \tan \theta$)，要使物体静止在斜面上，所加水平力 F 的大小为多少？

解析：题中 $\mu < \tan \theta$ ，说明 $F = 0$ 时物体将从斜面上加速下滑，所以加上的水平力 F 至少要抵住物体不让其下滑，但 F 太大，有可能推动物体使之沿斜面向上运动，因此 F 必然是在某一范围之内，即 $F_1 \leq F \leq F_2$ 。



$$F_1 \cos \theta = mg \sin \theta - \mu(mg \cos \theta + F_1 \sin \theta),$$

$$F_2 \cos \theta = mg \sin \theta + \mu(mg \cos \theta + F_2 \sin \theta).$$

得

$$F_1 = \frac{\sin \theta - \mu \cos \theta}{\cos \theta + \mu \sin \theta} mg,$$

$$F_2 = \frac{\sin \theta + \mu \cos \theta}{\cos \theta - \mu \sin \theta} mg.$$

所以

$$\frac{\sin \theta - \mu \cos \theta}{\cos \theta + \mu \sin \theta} mg \leq F \leq \frac{\sin \theta + \mu \cos \theta}{\cos \theta - \mu \sin \theta} mg.$$

1.1.7 ★★ 半径为 R 的刚性球固定在水平桌面上，有一个质量为 M 的圆环状均匀弹性绳圈，原长 $2\pi a$ ， $a = \frac{R}{2}$ ，绳圈的弹性系数为 k（绳圈伸长 s 时，绳中弹性张力为 ks），将绳圈从球的正上方轻放到球上，并用手扶着绳圈使之保持水平并最后停留在某个静力平衡位置，设此时绳圈的长度为 $2\pi b$ ， $b = \sqrt{2}a$ ，考虑重力，忽略摩擦，求绳圈的弹性系数 k。（用 M、R、g 表示，g 为重力加速度）

解析：弹性绳平衡于球面上时可以用图 1 表示，在此绳上取长为 Δl 的一小段作为研究对象，则此小段受到四个力的作用而平衡，这四个力是：重力 $\frac{\Delta l}{2\pi b} Mg$ ，其方向竖直向下；

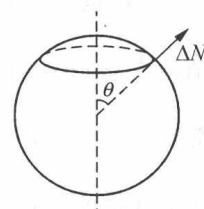


图 1

球面对此小段的弹力 ΔN ，其方向沿此处对应的球半径指向球外；此段绳的两端分别受到绳圈的拉力 T，其方向分别沿此段绳两端处弧线的切线方向向外。由于 $b = \frac{\sqrt{2}}{2} R$ ，故得弹力 ΔN 与竖直方向的夹角 θ 为 $\theta = 45^\circ$ 。则这一小段绳圈在竖直方向上受力平衡关系为

$$\Delta N \cos \theta = \frac{\Delta l}{2\pi b} Mg,$$

即

$$\Delta N = \frac{\sqrt{2}Mg}{2\pi b} \Delta l.$$

故得 ΔN 的水平分量为 $\Delta N_x = \Delta N \sin \theta = \frac{Mg}{2\pi b} \Delta l$.

又设此小段绳圈所对的圆心角为 $\Delta\varphi$, 则这小段绳圈在水平面内受力如图 2 所示, 由平衡关系有 $2T \sin \frac{\Delta\varphi}{2} = \Delta N_x$,

由于 Δl 很小, 则 $\Delta\varphi$ 也很小, 故近似有

$$\sin \frac{\Delta\varphi}{2} = \frac{\Delta\varphi}{2} = \frac{\Delta l}{2b}.$$

联立以上三式可解得 $T = \frac{Mg}{2\pi}$.

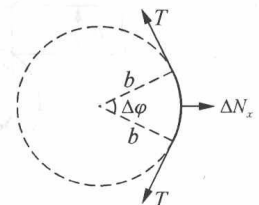


图 2

1.1.8 ★★ 如图所示, AOB 是一把等臂夹子, 轴 O 处的摩擦可以忽略. 若想在 A 、 B 处用力夹住一圆柱形物体 C , 则能否夹住与哪些因素有关? 如果这一装置能夹住 C , 这些因素应满足什么条件? (不考虑 C 的重力)

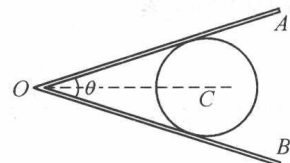
解析: 对球 C 而言, 由平衡关系得

$$N \sin \frac{\theta}{2} = f \cos \frac{\theta}{2},$$

而

$$f \leqslant f_m = \mu N,$$

故球能被夹住的条件是 $\mu \geqslant \tan \frac{\theta}{2}$.



可见能否夹住与 μ 、 θ 有关, μ 越大, θ 越小, 则越容易夹住, 而与所用力的大小无关. 对一定的夹子和物体, μ 是定值, θ 越小越易夹住, 但 θ 受 L 和 R 的限制, 即要求满足 $\tan \frac{\theta}{2} \geqslant \frac{R}{L}$.

所以, 能否夹住与 $\frac{R}{L}$ 的值有关, 当 θ 最小时, 有 $\tan \frac{\theta}{2} = \frac{R}{L}$, 得

$$\mu \geqslant \frac{R}{L}.$$

1.1.9 ★★ 如图 1 所示, 压延机由两轮组成, 两轮直径均为 $d = 50$ cm, 轮间的间隙 $a = 0.5$ cm, 两轮按反方向转动, 已知烧红的铁块与铸铁轮之间的摩擦系数 $\mu = 0.1$, 问能压延的铁板厚度 b 为多少?

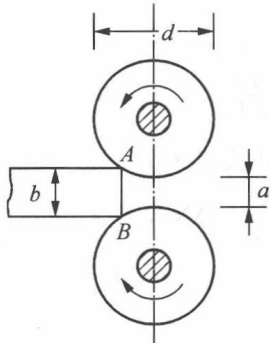


图 1

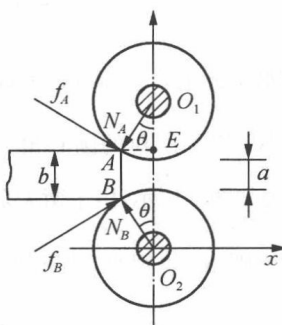


图 2

解析：把铁板作为研究对象，作受力分析，如图 2 所示。

为保证机器能正常压延烧红的铁块，必须使转动轮作用在铁块上的力 N_A 、 N_B 、 f_A 、 f_B 的合力向右才行，即 $f_A \cos \theta - N_A \sin \theta \geq 0$ 。

由于 $N_A > 0$ ，所以 $\mu \cos \theta - \sin \theta \geq 0$ ，或 $\tan \theta \leq \mu$ 。

θ 满足几何关系

$$\tan \theta = \frac{\overline{AE}}{\overline{O_1E}} = \frac{\sqrt{\left(\frac{d}{2}\right)^2 - \left[\frac{d}{2} - \frac{1}{2}(b-a)\right]^2}}{\left[\frac{d}{2} - \frac{1}{2}(b-a)\right]} = \frac{\sqrt{d^2 - (d+a-b)^2}}{d+a-b},$$

联立以上两式并化简得 $\left(1 + \frac{a-b}{d}\right)^{-2} - 1 \leq \mu^2$ ，

进一步化简得 $a < b \leq d \left(1 - \frac{1}{\sqrt{\mu^2 + 1}}\right) + a \approx 0.75 \text{ cm}$ 。

1.1.10 ★★ 有一个半径为 R 的圆柱体水平地横架在空中，有质量为 m_1 与 m_2 ($m_1 = 2m_2$) 的两个质点，用长为 $\frac{1}{2}\pi R$ 的轻质细线相连，如图 1 所示，细线与圆柱间无摩擦，质点与圆柱间摩擦因数为 $\mu < 1$ ，试求质点向左滑落的条件。

解析：如图 2(a) 所示，系统不向右下滑的条件为

$$m_1 g \sin \theta_1 - m_2 g \sin \theta_2 \leq \mu m_1 g \cos \theta_1 + \mu m_2 g \cos \theta_2. \quad ①$$

由于 $\theta_1 + \theta_2 = 90^\circ$, $m_1 = 2m_2$, $\mu < 1$ ，故由上式得

$$\tan \theta_1 \leq \frac{2\mu + 1}{2 - \mu}. \quad ②$$

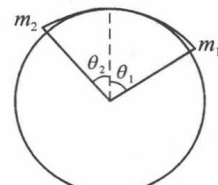


图 1

同样,系统不向左下滑的条件见图 2(b),有

$$m_2 g \sin \theta_2 - m_1 g \sin \theta_1 \leq \mu m_1 g \cos \theta_1 + \mu m_2 g \cos \theta_2,$$

即

$$\tan \theta_2 \leq \frac{2 + \mu}{1 - 2\mu}. \quad (3)$$

(1) $\mu < \frac{1}{2}$ 时,由(3)式知系统刚要向左滑落的角度为

$$\theta_{2\text{左}} = \arctan \frac{2 + \mu}{1 - 2\mu}, \quad 0 < \theta_{2\text{左}} < 90^\circ;$$

(2) $\mu = \frac{1}{2}$ 时,由(3)式知系统刚要向左滑落的角度为 $\theta_{2\text{左}} = 90^\circ$;

(3) $\mu > \frac{1}{2}$ 时,③式可写为 $\tan \theta_2 \geq \frac{2 + \mu}{1 - 2\mu}$, 等式右边为负值.

就是说在 $0^\circ \sim 90^\circ$ 之间系统不会向左滑动,必须使 m_1 移动到左方, m_2 离开圆柱体而自由悬挂,见图 2(c),用 θ 表示系统的位置,则不向左滑落的条件为

$$m_1 g \sin \theta + m_2 g \leq \mu m_1 g \cos \theta,$$

即系统向左下滑的临界位置 $\theta_{\text{左}}$ 应满足

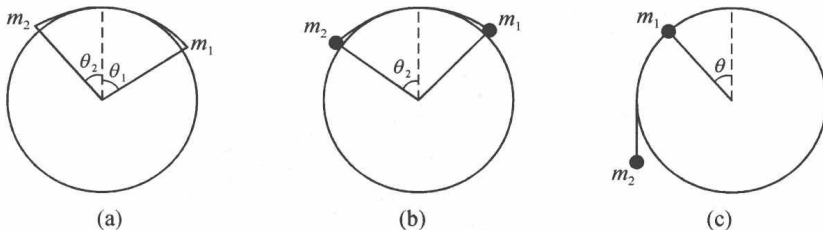


图 2

$$\sin \theta_{\text{左}} - \mu \cos \theta_{\text{左}} = -\frac{m_2}{m_1} = -\frac{1}{2}. \quad (4)$$

令 $\mu = \tan \varphi$, 则④式可改写为

$$\frac{1}{\sqrt{1 + \mu^2}} \sin \theta_{\text{左}} - \frac{\mu}{\sqrt{1 + \mu^2}} \cos \theta_{\text{左}} = -\frac{1}{2\sqrt{1 + \mu^2}},$$

即 $\cos \varphi \sin \theta_{\text{左}} - \sin \varphi \cos \theta_{\text{左}} = -\frac{1}{2\sqrt{1 + \mu^2}}$, $\sin(\theta_{\text{左}} - \varphi) = -\frac{1}{2\sqrt{1 + \mu^2}}$,

可得

$$\theta_{左} = \arctan \mu - \arcsin \frac{1}{2\sqrt{1+\mu^2}}.$$

当 $\theta > \theta_{左}$ 时, 质点会向左滑动.

1.1.11 ★★ 倾斜角为 30° 的屋顶上覆盖着金属皮, 现在发现这些金属皮在渐渐向下移动. 试解释这个现象并计算长 1 m 的金属皮在 100 天内发生的位移. 已知该金属的线膨胀系数 α 为 $28 \times 10^{-6}\text{ }^\circ\text{C}^{-1}$, 白天与晚上平均温度差为 11°C .

怎样能使金属皮独自沿着屋顶向上移? (已知伸缩量 $\Delta l = \alpha l \Delta T$)

解析: 由于昼夜温度波动, 当膨胀和收缩时金属皮上不可移动线的位置不同, 导致出现屋顶上金属皮下移现象.

先研究加热时金属皮膨胀过程. 加热时, 由于热膨胀, 金属皮上端将向上移动, 而下端向下移动, 离金属皮上端距离为 x_1 的点将不移动.

对于长为 x_1 和 $(l-x_1)$ 金属皮的两部分, 其重力和摩擦力在 Ox 轴方向上之和等于零(图 1), 则有 $\frac{mgx_1}{l} \sin \varphi + f_1 + \frac{mg(l-x_1)}{l} \sin \varphi + f_2 = 0$, 即

$$mg \sin \varphi + \frac{\mu mgx_1 \cos \varphi}{l} - \frac{\mu mg(l-x_1) \cos \varphi}{l} = 0,$$

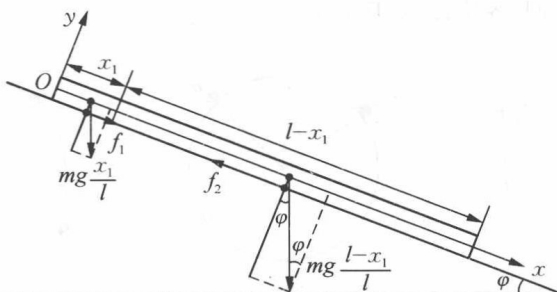


图 1

解得

$$x_1 = l \frac{\mu \cos \varphi - \sin \varphi}{2\mu \cos \varphi}.$$

当加热温度升高 ΔT 时, 金属皮下端移动为 $\Delta l_1 = \frac{\Delta l(l-x_1)}{l}$,

式中 $\Delta l = \alpha l \Delta T$.

当金属皮的温度下降 ΔT 时, 金属皮上端将向下移动, 而下端将向上移. 与考虑摩擦力方向改变类似, 确定到不可移动线距离 x_2 (图 2), 则有

$$mg \sin \varphi - \frac{\mu mgx_2 \cos \varphi}{l} + \frac{\mu mg(l-x_2) \cos \varphi}{l} = 0,$$

解得

$$x_2 = l \frac{\mu \cos \varphi + \sin \varphi}{2\mu \cos \varphi}.$$

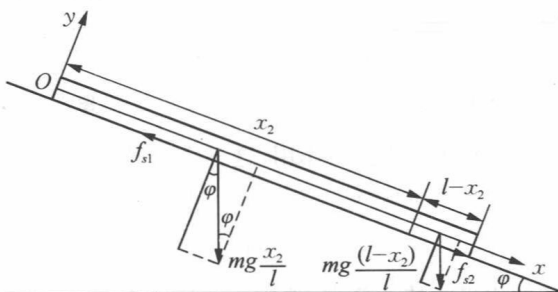


图 2

当冷却温度降低 ΔT 时, 金属皮下端向上移动为 $\Delta l_2 = \frac{\Delta l(l - x_2)}{l}$.

结果在一昼夜内下端向下移动距离

$$\Delta l_1 - \Delta l_2 = \frac{\Delta l(x_2 - x_1)}{l} = \frac{\Delta l \cdot \tan \varphi}{\mu} = \frac{\alpha l \Delta T \cdot \tan \varphi}{\mu}.$$

$$\text{在 } n \text{ 天内移动距离 } \Delta l = n(\Delta l_1 - \Delta l_2) = \frac{n \alpha l \Delta T \tan \varphi}{\mu}.$$

代入数据, 得到 $\Delta l = \frac{100 \times 28 \times 10^{-6} \times 1 \times 11 \times 0.58}{0.6} \text{ m} \approx 0.03 \text{ m}$.

为实现金属皮向上移, 需要制作带齿的(齿向上倾斜)屋面. 在金属皮两端需要有向下倾斜的齿(图 3). 于是在加热时金属皮下端将靠在下齿上且不动, 而上端将向上移; 在冷却时金属皮上端由于上齿支撑不动, 下端将向上移. 为了使金属皮向上移动, 屋顶上相邻两齿之距离 a 应该小于一昼夜金属皮长度的变化 Δl , 即

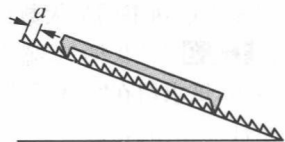


图 3

$$a \leq \Delta l = \alpha l \Delta T,$$

代入数据得 $a \leq 28 \times 10^{-6} \times 1 \times 11 \text{ m} \approx 3 \times 10^{-4} \text{ m} = 0.3 \text{ mm}$.

§ 1.2 共点力作用下物体的平衡

1.2.1 * 如图 1 所示, 用两根轻质绳把质量为 M 的不均匀棒悬挂起来, 使其呈水平静止状态. 一根绳子同竖直方向的夹角 $\varphi = 38^\circ$, 另一根绳与竖直方向的夹角 $\theta = 51^\circ$. 设棒长 $l = 6.0 \text{ m}$, 求重心离右端的距离 x .

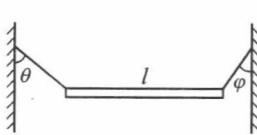


图 1

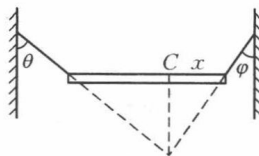


图 2

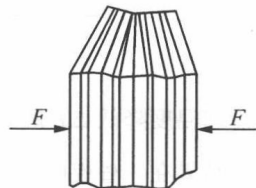
解析: 棒受重力和两侧绳的拉力作用,这三个力必共点,如图 2 所示. 由几何关系得

$$x \cot \varphi = (l - x) \cot \theta,$$

解得

$$x = 2.3 \text{ m}.$$

1.2.2 * 有人想水平执持一叠书,他用手在这叠书的两端加一压力 $F = 225 \text{ N}$, 如图所示. 如果每本书的质量为 0.95 kg , 手与书之间的静摩擦因数为 0.45 , 书与书之间的静摩擦因数为 0.40 , 求此人可能执书的最大数目.



解析: 由对称性可知,每只手与书之间的最大静摩擦力是他所能执书最大数目的一半,故有

$$\mu_{\text{手}} F = Nmg/2, N = 2\mu_{\text{手}} F/(mg) = 21.75,$$

即 $N = 21$ (本). 书与书之间的最大静摩擦力能支持书的数目 n 和最大数目 N' 的关系为 $n = (N' - 2)/2$. 又 $\mu_{\#} F = nmg$, 故

$$n = \mu_{\#} F/(mg) = 9.66, N' = 2n + 2 = 21 \text{ (本)}.$$

所以该人能执书的最大数目为 21 本.

1.2.3 * “长柄勺”盛满重液体,仔细地悬挂柄,如图 1 所示. 这时有一部分液体溢出,试求留在“长柄勺”里液体的体积. 已知“长柄勺”为半径为 r 的半球形,柄与半球形相切,长度 $l = \sqrt{8}r$, “长柄勺”质量不计.

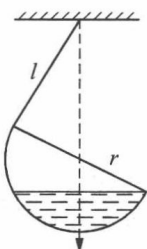


图 1

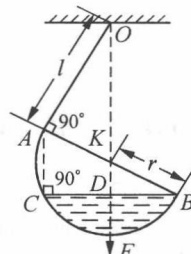


图 2